

УДК 535.375.5

В. И. ЕМЕЛЬЯНОВ, В. Н. СЕМИНОВ

ТЕОРИЯ СВЕРХИЗЛУЧЕНИЯ ПРИ КОМБИНАЦИОННОМ РАССЕЯНИИ СВЕТА

1. В настоящем сообщении излагаются результаты развитой нами многомодовой теории сверхизлучения при комбинационном рассеянии (СИКР) света в молекулярных и атомных системах. Рассмотренный здесь эффект СИКР является аналогом резонансного сверхизлучения [1—6]. Рассеиваемая при СИКР мощность пропорциональна квадрату числа рассеивающих частиц. В одномодовом приближении процесс СИКР рассмотрен в [7].

В настоящей работе исследована временная эволюция населенностей атомной системы, рассчитана форма импульса СИКР, получены выражения для длительности импульса t_p и време-

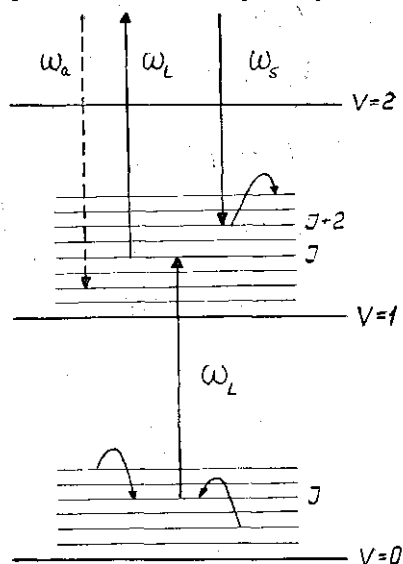


Схема каскада колебательно-вращательных переходов при СИКР. Переход $V=0, J \rightarrow V=1, J$ происходит при резонансном поглощении кванта накачки. Затем, за счет стоксова (ω_s) и антистоксова (ω_a) СИКР происходит переход на уровни соответственно $V=1, J+2$ и $V=1, J-2$ и т. д. Стрелками внизу показано подпополнение уровня $V=0, J$ за счет процессов СИКР.

ни задержки импульса t_m . Определена угловая зависимость мощности СИКР. В явном виде рассмотрен процесс формирования сверхизлучательного состояния из первоначально некогерентного состояния за счет обмена спонтанно излученными стоксовыми фотонами. Этот процесс определяет время t_m . Показано, что t_m существенно зависит от геометрии среды. Полученные результаты применимы также к случаю резонансного сверхизлучения.

Условием формирования импульса СИКР является неравенство $t_m < T_{\min}$, где T_{\min} — наименьшее из времен молекулярной релаксации. После излучения импульса система молекул, первоначально находившаяся в основном состоянии, оказывается в инвертированном состоянии. В многоуровневой системе (например, для молекулы с колебательно-вращательным спектром) такой процесс инверсии пар уровней может происходить поэтапно, приводя к возбуждению все более высоких уровней (см. рисунок). СИКР, таким образом, может определять один из возможных механизмов бесстолкновительного возбуждения (стоксово СИКР) и релаксации (антистоксово СИКР) молекул по колебательно-вращательным уровням.

2. Рассмотрим систему N многоуровневых атомов (молекул), заключенных в объем V произвольной геометрической формы. На систему действует электромагнитное поле накачки

$$E_L(\mathbf{R}_j, t) = \mathbf{e}_L (E_L e^{-i(\omega_L t - \mathbf{k}_L \mathbf{R}_j)} + \text{к. с.}); E_L = \begin{cases} 0, & t < 0, \\ \text{const}, & t > 0, \end{cases} \quad (1)$$

где \mathbf{R}_j — радиус-вектор j -го атома.

В начальный момент $t=0$ все атомы находятся в основном состоянии, а средняя поляризация равна нулю. В результате действия поля в среде возникает нелинейная поляризация $\mathbf{P}_s(\mathbf{R}, t)$ на частоте $\omega_s = \omega_L - \omega_{ab}$, где $\omega_{ab} > 0$ — частота перехода выделенной пары уровней, и соответствующее стоксово поле

$$\mathbf{E}_s(\mathbf{R}_j, t) = \mathbf{E}_s^-(\mathbf{R}_j, t) + \mathbf{E}_s^+(\mathbf{R}_j, t) = \mathbf{E}_{sj}^- e^{-i\omega_s t} + \mathbf{E}_{sj}^+ e^{i\omega_s t}. \quad (2)$$

Решение уравнения Максвелла для \mathbf{E}_s имеет вид:

$$\mathbf{E}_s(\mathbf{R}_j, t) = \frac{1}{c^2} \sum_i \frac{1}{R_{ij}} \left[\left[\frac{\partial^2}{\partial t'^2} \mathbf{P}_s(\mathbf{R}_i, t') \mathbf{n}_{i_j} \right] \mathbf{n}_{i_j} \right] + \mathbf{E}_{s0}(\mathbf{R}_j, t), \quad (3)$$

где $t' = t - R_{ij}/c$, $\mathbf{n}_{i_j} = \mathbf{R}_{ij}/|R_{ij}|$, $\mathbf{R}_{ij} = \mathbf{R}_i - \mathbf{R}_j$, а \mathbf{E}_{s0} — вакуумное поле:

$$\mathbf{E}_{s0}(\mathbf{R}_j, t) = i \sum_k \sqrt{\frac{2\pi \hbar kc}{V}} \mathbf{e}_k (a_k e^{-i(kct - \mathbf{kR}_j)} - a_k^+ e^{i(kct - \mathbf{kR}_j)}), \quad (4)$$

где a_k^+ , a_k — операторы порождения и уничтожения квантов поля, причем

$$\overline{a_k a_k^+} = \delta_{kk'}, \quad \overline{a_k^+ a_k} = 0,$$

черта означает усреднение по вакуумному состоянию поля.

Запишем уравнения для операторов разности населенностей уровней j -го атома $\hat{D}_j = \rho_{aa_j} - \rho_{bb_j}$ и недиагонального элемента матрицы плотности σ_{abj} :

$$\begin{aligned} \frac{\partial \hat{D}_j}{\partial t} &= -\frac{i\mathbf{r}_{ab}}{\hbar} \{E_L^-(\mathbf{R}_j, t) \mathbf{E}_s^+(\mathbf{R}_j, t) \sigma_{ba}(t) + \sigma_{ba}(t) E_L^-(\mathbf{R}_j, t) \mathbf{E}_s^+(\mathbf{R}_j, t)\} + \text{э.с.}, \\ &\frac{\partial \sigma_{abj}}{\partial t} + i\omega_{ab} \sigma_{abj} = \\ &= \frac{i\mathbf{r}_{ab}}{2\hbar} \{E_L^-(\mathbf{R}_j, t) \mathbf{E}_s^+(\mathbf{R}_j, t) D_j(t) + D_j(t) E_L^-(\mathbf{R}_j, t) \mathbf{E}_s^+(\mathbf{R}_j, t)\}, \end{aligned}$$

где

$$\mathbf{r}_{ab} = \frac{1}{\hbar} \sum_p \left\{ \frac{(\mathbf{d}_{bp} \mathbf{e}_L) \mathbf{d}_{pa}}{\omega_{bp} + \omega_L} + \frac{\mathbf{d}_{bp} (\mathbf{d}_{pa} \mathbf{e}_L)}{\omega_{bp} - \omega_s} \right\}$$

и \mathbf{d}_{bp} — матричный элемент дипольного момента. Введем далее медленно меняющийся оператор $\rho_{abj} = \sigma_{abj} e^{-i\omega_{ab} t + i\mathbf{k}_L \mathbf{R}_j}$ и исключим из этих уравнений $\mathbf{E}_s(\mathbf{R}_j, t)$ с помощью (3). Тогда после усреднения по вакуумному состоянию, по ансамблю и по ориентациям дипольного момента получим следующую систему уравнений:

$$\frac{\partial D}{\partial t} = \Gamma \sum_{i \neq j} C_{ij} P_{ij} + \Gamma(N - D); D(0) = -N; \quad (5)$$

$$\begin{aligned} \frac{\partial P_{ij}}{\partial t} = & -\Gamma C_{ij} (\rho_{bbj} D_i + \rho_{bbi} D_j) - \\ & -\frac{\Gamma}{2} \sum_{k \neq i, j} C_{ki} P_{kj} D_i - \frac{\Gamma}{2} \sum_{k \neq i, j} C_{kj} P_{ik} D_j; \quad P_{ij}(0) = 0. \end{aligned} \quad (6)$$

Здесь $D = \Sigma \langle \overline{D_i(t)} \rangle$,

$$P_{ij} = \langle \rho_{abi}(t) \rho_{baj}(t) + \rho_{baj}(t) \rho_{abi}(t) \rangle,$$

где $\langle \rangle$ обозначает операцию усреднения;

$$\Gamma = \frac{2\omega_s^3 |r|^2 |E_L|^2}{5\hbar c^3}, \quad |r| = \frac{1}{\hbar} \left| \sum_p \left(\frac{db_p d_{pa}}{\omega_{bp} + \omega_L} + \frac{db_p d_{pa}}{\omega_{bp} - \omega_s} \right) \right|,$$

$C_{ij} = \sin\left(\frac{\omega_s}{c} R_{ij}\right) / \left(\frac{\omega_s}{c} R_{ij}\right)$ — матрица эффективного межатомного взаимодействия.

При выводе (5) и (6) мы пренебрегли временным запаздыванием в медленно меняющихся операторах, положив $\rho_{abj}(t - R_{ij}/c) \approx \rho_{abj}(t)$. Это справедливо при условии $t_m < L/c$, где L — характерный линейный размер системы.

Последний член в (5) учитывает влияние спонтанного КР на динамику населенностей. Первый член в правой части (6) описывает процесс наведения межатомных корреляций за счет спонтанного излучения стоксова фотона одним атомом и поглощения его другим. Если бы этого члена не было, то при заданных начальных условиях во все моменты времени $P_{ij}(t) = 0$ и сверхизлучение отсутствовало бы.

Для решения уравнений (5), (6) используем полный, ортонормированный набор собственных функций $\psi_\lambda(\mathbf{R}_j)$ и собственных значений λ матрицы C_{ij} [6]:

$$\sum_{j=1}^N C_{pj} \psi_\lambda(\mathbf{R}_j) = \lambda \psi_\lambda(\mathbf{R}_p). \quad (7)$$

Для объема цилиндрической формы (L — длина, R , S — радиус и площадь поперечного сечения) наибольшие собственные значения λ_0 и соответствующие $\psi_{\lambda_0}(\mathbf{R}_j)$ определены явно в пределе больших и малых чисел Френеля ($F = S/\lambda_s L$, λ_s — длина волны стоксова излучения). Для $F \ll 1$ и $F \gg 1$ все наибольшие собственные значения вырождены с кратностью g_0 и равны [6]:

$$\lambda = \lambda_0 = N \pi / H \gg 1; \quad g_0 = 1/F; \quad (F \ll 1); \quad (8)$$

$$\lambda = \lambda_0 = N/h^2 \gg 1; \quad g_0 = 2F; \quad (F \gg 1), \quad (9)$$

где $H = (\omega_s/c)L$, $h = (\omega_s/c)R$, $H \gg h \gg 1$. Остальные $\lambda \ll \lambda_0$, и ими можно пренебречь. Собственные функции

$$\psi_{\lambda_0}(R_j) = \frac{1}{\sqrt{N}} (\cos \mathbf{k}_0 \mathbf{R}_j + \sin \mathbf{k}_0 \mathbf{R}_j) \quad (10)$$

$\mathbf{k}_0 = (\omega_s/c) \hat{\mathbf{k}}_0$, где $\hat{\mathbf{k}}_0$ — единичный вектор, направленный вдоль оси цилиндра.

Введем коллективную переменную $P(\lambda, t) = \sum_{i \neq j} P_{ij} \psi_\lambda(\mathbf{R}_i) \psi_\lambda(\mathbf{R}_j)$.

Из (5), (6) получим уравнения для D и $P(\lambda_0, t)$:

$$\frac{\partial D}{\partial t} = \Gamma \lambda_0 g_0 P(\lambda_0, t) + \Gamma(N - D); \quad D(0) = -N; \quad (11)$$

$$\frac{\partial P(\lambda_0, t)}{\partial t} = -\frac{\Gamma(N - D)}{N^2} \lambda_0 - \frac{\Gamma D}{N} \lambda_0 P(\lambda_0, t); \quad P(\lambda_0, 0) = 0. \quad (12)$$

Отметим, что при замене $D \rightarrow -D$, $\Gamma \rightarrow \gamma \equiv 4 \omega_{ab}^3 |\mathbf{d}_{ab}|^2 / 3 \hbar c^3$ уравнения (11), (12) описывают процесс сверхизлучательного высвечивания первоначально инвертированной системы двухуровневых атомов с частотой перехода ω_{ab} .

Решение (11), (12) приближенно с точностью до членов порядка $1/\lambda_0$ можно записать в виде:

$$D(t) = -D(0) \operatorname{th} [(t - t_m)/\tau_p]; \quad (13)$$

$$P(\lambda_0, t) = (N/2g_0) \operatorname{ch}^{-2} [(t - t_m)/\tau_p]; \quad (14)$$

$$\tau_p = 2/\Gamma \lambda_0; \quad t_m = (1/2) \tau_p \ln(N/g_0). \quad (15)$$

Численное решение (11, 12) подтверждает правильность аналитических выражений (13—15).

Отметим, что при увеличении спонтанного члена в правой части (12) в $N/\lambda_0 g_0$ раз система (11, 12) допускает точное решение в виде (13, 14), но с заменой там

$$t_m \rightarrow t_m^* (1/2) \tau_p \ln \lambda_0 < t_m. \quad (16)$$

Формулы (13), (16) при $F \gg 1$ соответствуют результату одномодовой теории [7] с учетом сделанной в [7] поправки на многомодовость процесса СИКР. Аналогичный результат получается также в теории резонансного сверхизлучения [2]. Большее, по сравнению с t_m^* , значение времени задержки t_m , полученное в настоящей работе, объясняется следующим. В [2, 7] для нахождения $D(t)$ на всех этапах временной эволюции, начиная с $t=0$, используется закон сохранения длины блоховского вектора. Для многомодового случая, в наших обозначениях, этот закон имеет вид:

$$D^2 + 2Ng_0 P(\lambda_0, t) = N^2. \quad (17)$$

Формула (17) следует из (11), (12) в пренебрежении там спонтанными членами, и поэтому она не справедлива на малых временах. Легко видеть, что в момент $t=0$ (17) дает начальную скорость нарастания коррелятора коллективной поляризации $\left(\frac{\partial P(\lambda_0, t)}{\partial t}\right)$ в $N/\lambda_0 g_0$ раз большую, чем это следует из уравнения (12).

Перейдем теперь к рассмотрению формы импульса СИКР и угловой направленности излучения. Используя для \mathbf{E}_s формулу (3), найдем выражение для $I_{s,k}$ — мощности, рассеиваемой на частоте ω_s в единичный телесный угол в направлении вектора $\mathbf{k} = \frac{\mathbf{R}}{|\mathbf{R}|} \frac{\omega_s}{c}$, где \mathbf{R} — точка наблюдения в дальней зоне:

$$I_{s,k}(t) = (\hbar \omega_s \Gamma / 4\pi) \left\{ (N - D) / 2 + \right. \\ \left. + (1/2) \sum_{\lambda} P(\lambda, t) \sum_{i \neq j} \psi_{\lambda}(\mathbf{R}_i) \psi_{\lambda}(\mathbf{R}_j) e^{i\mathbf{k}(\mathbf{R}_i - \mathbf{R}_j)} \right\}. \quad (18)$$

В предельных случаях $F \gg 1$ и $F \ll 1$ с использованием (10), находим $I_{s,k}$ в явном виде:

$$I_{s,k}(t) = (\hbar \omega_s \Gamma / 4\pi) \{ (N - D(t)) / 2 + (N/2) g_0 P(\lambda_0, t) \theta(\mathbf{k}) \}, \quad (19)$$

где $D(t)$, $P(\lambda_0, t)$ задаются формулами (13)–(15), а фактор угловой направленности СИКР равен:

$$\begin{aligned} \theta(\mathbf{k}) &= (1/2 N^2) \sum_{i \neq j} \sum (e^{i(\mathbf{k}_0 + \mathbf{k}) \cdot (\mathbf{R}_i - \mathbf{R}_j)} + e^{i(\mathbf{k}_0 - \mathbf{k}) \cdot (\mathbf{R}_i - \mathbf{R}_j)}) = \\ &= 2 \sum_{(\pm)} \left[\frac{\sin \frac{1}{2} H (1 \mp \cos \varphi)}{\frac{1}{2} H (1 \mp \cos \varphi)} \right]^2 \left(\frac{J_1(\hbar \sin \varphi)}{\hbar \sin \varphi} \right)^2. \end{aligned} \quad (20)$$

Здесь $\cos \varphi = \mathbf{k} \cdot \mathbf{k}_0 / |\mathbf{k}|^2$ (напомним, что \mathbf{k}_0 направлен вдоль оси цилиндра и $|\mathbf{k}| = |\mathbf{k}_0|$); $J_1(x)$ — функция Бесселя первого рода.

Первый член в (19) описывает изотропное спонтанное КР, возникающее с момента $t=0$, второй член описывает коллективное излучение, формирующееся в виде импульса, максимум которого достигается в момент t_m . Как следует из (19), (20), излучение при СИКР происходит в малые телесные углы в противоположных направлениях вдоль оси цилиндра. Из (19) и (14), (15) видно, что в момент t_m мощность рассеяния $I_{s,k}(t_m) \sim N^2$.

Отметим, что при замене $D \rightarrow -D$, $\omega_s \rightarrow \omega_{ab}$, $\Gamma \rightarrow \gamma$, формулы (18–20) описывают форму импульса и угловую направленность резонансного сверхизлучения в двухуровневых системах.

3. Используя полученные выше результаты, рассмотрим механизм возбуждения молекул, в котором участвует большое число вращательных уровней. Пусть ω_L резонансна переходу $v=0, J \rightarrow v=1, J$, где v, J — колебательное и вращательное квантовые числа. Под действием этого поля молекулы с уровня $v=0, J$ переходят на уровень с $v=1, J$, а затем на уровни $v=1, J+2, J+4, \dots$ за счет процесса СИКР. Уровень $v=0, J$ будет постоянно заполняться благодаря переходам с других вращательных подуровней, которые происходят при стоковом и антистоксовом СИКР. Оценим интенсивность накачки, необходимую для перевода молекул с $v=1, J$ на уровень $v=1, J+\Delta J$ за время длительности импульса $\tau_{\text{имп}}$. Необходимым условием этого является выполнение неравенства

$$\sum_{k=1}^{\Delta J/2} t_m(J_k) < \tau_{\text{имп}}, \quad (21)$$

где $t(J_k)$ — время задержки на переходе $v=1, J_k, v=1, J_k+2$.

Для численной оценки возьмем те значения параметров, которые соответствуют молекуле SF_6 . Положим $\tau_{\text{имп}} \simeq 150$ нс, $\Delta J = 20$. При давлении $p = 0,03$ Тор, $n(J \simeq 63) \simeq 10^{13}$ см $^{-3}$. Расстройка $(\omega_{pb} - \omega_L)$ в выражении для $|r|$ при переходе с уровня $(J + \delta J)$ будет порядка $2B\delta J$, где $B \simeq 0,027$ см $^{-1}$, $d_{bp} \simeq 0,3D$ [8]. Используя (15), (21), получим выражение для интенсивности накачки, требуемой для осуществления каскада переходов $v=1, J \rightarrow v=1, J=20$:

$$|E_L|^2 = \frac{5\hbar c \ln(N/g_0)}{2\pi\omega_s nL (d_{bp} d_{pa}/4B\hbar)^2} \sum_{\delta J=1}^{10} (\delta J)^2 \frac{1}{\tau_{\text{имп}}}.$$

Для $L=10$ см, $S=1$ см², $\omega_s \approx 2 \cdot 10^{14}$ с⁻¹, имеем $I_L \approx 10^{11}$ Вт/м². Отметим, что при более высоких уровнях возбуждения молекул, где плотность уровней сильно возрастает, переходы, обусловленные СИКР, будут происходить и при более низких интенсивностях.

СПИСОК ЛИТЕРАТУРЫ

1. Dicke R. H. Coherence in spontaneous radiation process.— Phys. Rev., 1954, **93**, N 1, 99.
2. Rehler N. E., Eberly J. H. Superradiance.— Phys. Rev., 1971, **A3**, 1735—1751.
3. Bonifacio R., Lugiato L. A. Cooperative radiation processes two-level systems: Superfluorescence.— Phys. Rev., 1975, **A11**, 1507—1521.
4. Емельянов В. И., Климонтович Ю. Л. Временная эволюция и тонкая структура сверхизлучения Дикке и сверхсветимости в системе двухуровневых атомов.— Опт. и спектр., 1976, **11**, 913—919.
5. Андреев А. В., Ильинский Ю. А., Хохлов Р. В. О роли коллективных и индуцированных процессов при генерации мессбауэровского γ -излучения.— ЖЭТФ, 1977, **73**, 1296—1300.
6. Ressayre E., Tallet A. Quantum theory for superradiance.— Phys. Rev., 1977 **A15**, 2410—2423.
7. Раутман С. Г., Черноброд Б. М. Кооперативный эффект в комбинационном рассеянии света.— ЖЭТФ, 1977, **72**, 1342—1348.
8. Bombergren N. B., Canterelli C. D., Larsen D. M. Proceeding of the Loen conference, Norway, June 6—11, 1976.

Поступила в редакцию
30.05.78

ВЕСТН. МОСК. УН-ТА. СЕР. 3. ФИЗИКА. АСТРОНОМИЯ, 1980, Т. 21, № 2

УДК 535.5

В. Б. ВОЛОШИНОВ, И. В. НИКОЛАЕВ, В. Н. ПАРЫГИН

КОЛЛИНЕАРНАЯ АКУСТООПТИЧЕСКАЯ ФИЛЬТРАЦИЯ В КВАРЦЕ

Известно, что коллинеарное акустооптическое взаимодействие в оптически анизотропной среде может быть использовано для фильтрации света [1]. Коллинеарное взаимодействие в анизотропной среде является частным случаем анизотропного брэгговского рассеяния света на ультразвуке, при котором световой и акустический пучки распространяются либо в одном направлении, либо навстречу друг другу. Если на акустооптическую ячейку падает линейно поляризованный световой пучок со сплошным спектром, то за счет селективности брэгговского рассеяния с ультразвуком взаимодействует лишь свет, заключенный в узком спектральном интервале. При этом рождаются световые волны с поляризацией, ортогональной по отношению к исходной волне. Центральная длина волны λ_0 диапазона пропускания $\Delta\lambda$ определяется частотой f , скоростью ультразвука V , а также разностью показателей преломления материала $\Delta n = n_1 - n_2$:

$$\lambda_0 = \Delta n V / f. \quad (1)$$

Очевидно, что при изменении частоты ультразвука происходит перестройка фильтра по оптическим частотам. Это непосредственно следует из выражения (1).